

竹节香附素 A 对人肝癌细胞 HepG₂增殖的抑制作用

林小钦,李东良*,杨才生,何秀华,方 坚

(福建医科大学福总临床学院·南京军区福州总医院 肝胆内科,福建 福州 350025)

摘要 目的 探讨竹节香附素 A 对人肝癌细胞 HepG₂增殖的影响。**方法** 将不同质量浓度的竹节香附素 A 与 HepG₂细胞共同培养,采用 MTT 比色法及细胞集落形成法检测竹节香附素 A 对 HepG₂细胞生长、增殖的影响。**结果** 竹节香附素 A 对 HepG₂细胞生长的 IC₅₀ 为 8.94 μg/mL。与未处理组相比,5、10、20、40 μg/mL 的竹节香附素 A 分别与 HepG₂细胞共同培养 72 h,在培养 24 h 时的细胞增殖抑制率分别为:(24.81±0.55)%、(39.17±1.30)%、(62.45±7.56)%、(79.93±5.48)%,在培养 48 h 时的抑制率为(35.67±0.81)%、(49.73±9.18)%、(71.62±1.03)%、(87.06±1.84)%,在培养 72 h 时的抑制率为(42.52±1.31)%、(59.75±7.47)%、(78.85±3.15)%、(91.36±0.84)%;顺铂对照组在细胞培养 24、48、72 h 的抑制率分别为(2.60±0.53)%、(60.55±5.66)%、(82.61±8.95)%,竹节香附素 A 各剂量的作用与未处理组相比,在各时间点均有显著差异($P<0.001$);与顺铂相比,竹节香附素 A 起效更快,24 h 检测具有显著差异($P<0.001$);5、10、20 μg/mL 剂量在 24 h 以外的时间点与顺铂相比无差异,40 μg/mL 剂量在各时间点对 HepG₂细胞的抑制作用仍较顺铂的作用强($P<0.01$)。集落形成实验显示,对照组的集落形成率为 45.47%;而竹节香附素 A 1.25、2.5、5 μg/mL 3 个剂量组仅分别为 15.73%、7.2%、3.33%,即集落形成抑制率分别为(66.75±1.66)%、(84.25±3.11)%、(92.55±2.33)%,与对照组相比有显著差异($P<0.001$)。**结论** 竹节香附素 A 对 HepG₂细胞增殖有明显抑制作用,在一定范围内随着试药质量浓度的升高和作用时间的延长而增强。

关键词:两头尖;竹节香附素 A;肝癌细胞

中图分类号:R282.710.5

文献标识码:A

文章编号:1674-5515(2009)01-0049-03

Effect of raddeanin A on the proliferation of human hepatic cancer cells HepG₂

LIN Xiao-qin, LI Dong-liang, YANG Cai-sheng, HE Xiu-hua, FANG Jian

(Fujian Medical University Clinical institute of General Hospital. Department of Liver and Gallbladder Medicine, Fuzhou General Hospital of Nanjing Military Command, Fuzhou 350025, China)

Abstract: Objective To investigate the effect of raddeanin A on the proliferation of human hepatic cancer cells HepG₂. **Methods** Human hepatic cancer cells HepG₂ were co-cultured with different concentrations of raddeanin A, the effect of raddeanin A on the growth of HepG₂ cells was examined using MTT assay and colonogenic assay. **Results** Raddeanin A against the HepG₂ cells with IC₅₀ of 8.94 μg/mL. HepG₂ cells were co-cultured with 5, 10, 20, and 40 μg/mL raddeanin A for 72 h, against the cells proliferation with inhibitory rate of (24.81±0.55)%, (39.17±1.30)%, (62.45±7.56)%, and (79.93±5.48)% at 24 h; (35.67±0.81)%, (49.73±9.18)%, (71.62±1.03)%, and (87.06±1.84)% at 48 h; (42.52±1.31)%, (59.75±7.47)%, (78.85±3.15)%, and (91.36±0.84)% at 72 h, respectively, compared with control group. Cisplatin showed the inhibitory rate of (2.60±0.53)%, (60.55±5.66)%, and (82.61±8.95)%, respectively. Each dose group in comparison with the vehiculum group, were significant differences in various time point ($P<0.001$). In comparison with cisplatin group, raddeanin A inhibited more rapidly the proliferation of HepG₂ cells at 24 h ($P<0.001$). Other concentrations of the compound except at 40 μg/mL, have no difference compared with cisplatin, at different times point. Effect of raddeanin A 40 μg/mL against HepG₂ cells proliferation was still stronger than cisplatin ($P<0.01$) at different times point. Colonogenic assay demonstrated that the colony-forming rate were 15.73%, 7.2%, and 3.33%, respectively, viz colony-forming inhibitory rate were (66.75±1.66)%, (84.25±3.11)%,

* 通讯作者 李东良(1963—),男,教授,研究生导师,主要从事病毒性肝炎及肝癌的临床与基础研究。

Tel: 0591-22859128 E-mail: dongliangli@gmail.com

and $(92.55 \pm 2.33)\%$, respectively, compared with the control group were significantly different ($P < 0.001$). **Conclusion** Raddeanin A showed significantly inhibitory on proliferation of HepG₂ cells *in vitro*, and at certain range the inhibitory effects was depended on the medicine concentration and treating times.

Key words: *Anemone raddeana* Regel, raddeanin A, HepG₂ cells

竹节香附又称两头尖,为毛茛科植物多被银莲花 *Anemone raddeana* Regel 的干燥根茎,具有祛风除湿,消痈肿之功效,临幊上主要用于治疗风寒湿痹、手足拘挛、骨节疼痛等病症^[1]。20世纪80年代对其化学成分研究较多,先后分离并鉴定出多种化合物,主要是三萜皂苷类。在药理活性研究中发现,三萜皂苷中的竹节香附素A(raddeanin A)在体外有细胞毒活性^[2-3],对多种肿瘤细胞显示出较强的抑制作用^[4]。但其对人肝癌细胞的作用尚不明确。笔者进一步观察了竹节香附素A对人肝癌细胞株HepG₂增殖的抑制作用,旨在为竹节香附素A治疗恶性肿瘤提供更多的理论依据。

1 材料与方法

1.1 药品与试剂

竹节香附素A(成都曼思特生物科技有限公司产品,HPLC测定其质量分数 $\geq 98\%$),用二甲基亚砜(DMSO,上海化学试剂公司生产)配成100 mg/mL储备液,置-20℃冰箱备用。顺铂(齐鲁制药有限公司),DMSO溶解备用。MTT溶液(美国Sigma公司),用PBS新鲜配制成5 mg/mL备用。

1.2 细胞培养

人肝癌细胞株HepG₂购于美国国立癌症研究所,福建省肿瘤医院免疫实验室传代保存。HepG₂细胞在含10%胎牛血清(HyClone公司产品)的RPMI 1640培养液(Gibco公司)中,于37℃、5%CO₂、饱和湿度条件下培养,隔天换液1次,2.5 g/L胰酶/二乙胺四乙酸(EDTA)消化传代。取对数生长期细胞制备单细胞悬液进行实验。

1.3 MTT法检测细胞增殖

将HepG₂细胞悬液以每孔200 μL(1×10^4 细胞)接种于96孔细胞培养板中,培养24 h且待细胞贴壁生长良好后吸去原培养液,更换新鲜培养液,并加药处理。实验分为7组:竹节香附素A4个剂量组,向4组培养基加入竹节香附素A,使其终质量浓度分别为5、10、20、40 μg/mL(其中DMSO终浓度不超过0.1%);阴性对照组(不加药物、加等体积培养液);阳性对照药顺铂(6 μg/mL)组;溶媒对照组(加等体积DMSO)。每组均设4个复孔。加药后

常规培养,培养过程不换液,分别于培养24、48、72 h加MTT(5 mg/mL)20 μL,继续培养4 h后离心弃上清液,加DMSO 150 μL,振荡10 min,使结晶物充分溶解。最后在酶标仪(STAT FAS-2100)上用双波长(492、630 nm)测定各孔吸光度(A)值。试验重复3次,取平均值。按以下公式计算抑制率:抑制率(%)=(1-药物组A值/阴性对照组A值) $\times 100\%$ ^[5],并计算竹节香附素A对HepG₂肝癌细胞生长的半数抑制浓度(IC₅₀)。

1.4 集落形成试验

将细胞制成浓度为250/mL的细胞悬液,使其中的细胞充分分散,按每孔1 mL接种于24孔板,培养24 h且待细胞贴壁生长良好后吸去原培养液,更换新鲜培养液,并加竹节香附素A,使其终质量浓度分别为1.25、2.5、5 μg/mL,并设阴性对照。每组设3个复孔,连续培养1周,弃上清液,10×10倍显微镜下集落计数,20个以上的细胞为一个集落。按下式计算集落形成率(PE)和集落形成抑制率。PE=(集落数/接种细胞数)×100%,集落形成抑制率(%)=(1-给药组集落数/阴性对照组集落数)×100%^[5]。

1.5 数据处理

所获数据采用SPSS 11.5软件包进行处理,实验结果以均数±标准差($\bar{x} \pm s$)表示,组间比较用LSD-t检验,两样本间比较采用配对t检验,抑制率用Spearman秩相关分析。

2 结果

2.1 竹节香附素A对肝癌细胞HepG₂的细胞毒活性

竹节香附素A与阳性对照药物顺铂分别以多种质量浓度与HepG₂细胞共同培养48 h,结果两种药物对肿瘤细胞生长的IC₅₀分别为8.94、4.00 μg/mL。

2.2 竹节香附素A对HepG₂细胞增殖的影响

竹节香附素A与HepG₂细胞共同培养72 h,细胞增殖明显受到抑制,且抑制作用随其质量浓度的升高和作用时间的延长而增强,即在一定质量浓度范围内呈量效与时效关系($r=0.972$, $r=0.949$,

$P < 0.001$ 。72 h 后各组细胞数迅速减少, 呈负增殖状态。在 MTT 检测中, 竹节香附素 A 各剂量组在 24、48、72 h 时 A 值均小于阴性对照组, 且均具统计学意义 ($P < 0.01$), 而溶媒对照组与阴性对照组各时间点相比均无统计学意义。与阳性对照药顺铂相比, 竹节香附素 A 的抗增殖作用起效更快, 在 24 h 各剂量疗效均优于顺铂组 ($P < 0.01$); 48 h 后顺铂对 HepG₂ 细胞增殖的抑制作用迅速增强, 疗效优于小剂量竹节香附素 A, 但大剂量竹节香附素 A (40 $\mu\text{g}/\text{mL}$) 在各时间点对 HepG₂ 细胞增殖的抑制作用仍强于顺铂 ($P < 0.01$)。结果见表 1, 图 1。

表 1 HepG₂ 细胞经竹节香附素 A 作用不同时间后的吸光度 A_{492} 值 ($\bar{x} \pm s$)

组别	剂量/ ($\mu\text{g} \cdot \text{mL}^{-1}$)	A 值		
		24 h	48 h	72 h
阴性对照	-	0.379 \pm 0.012	0.557 \pm 0.015	0.711 \pm 0.048
溶剂对照	-	0.371 \pm 0.009	0.561 \pm 0.022	0.710 \pm 0.438
竹节香附素 A	5	0.297 \pm 0.021 * * \triangle	0.358 \pm 0.010 * * \triangle	0.408 \pm 0.027 * *
	10	0.217 \pm 0.020 * * \triangle	0.280 \pm 0.052 * * \triangle	0.288 \pm 0.062 * *
	20	0.143 \pm 0.032 * * \triangle	0.158 \pm 0.006 * * \triangle	0.148 \pm 0.019 * *
	40	0.074 \pm 0.020 * * \triangle	0.072 \pm 0.010 * * \triangle	0.061 \pm 0.008 * * \triangle
顺铂	6	0.372 \pm 0.012	0.220 \pm 0.038 * * \triangle	0.126 \pm 0.073 * *

与阴性对照组比较: * * $P < 0.01$; 与顺铂组比较: $\triangle P < 0.05$

* * $P < 0.001$

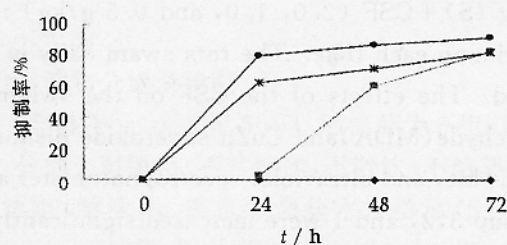


图 1 竹节香附素 A 对 HepG₂ 细胞增殖的抑制作用

2.3 竹节香附素 A 对 HepG₂ 细胞集落形成的抑制作用

多种质量浓度的竹节香附素 A 对 HepG₂ 细胞集落形成具有不同程度的抑制作用, 且抑制作用随其质量浓度增加而增强。与阴性对照组相比, 竹节香附素 A 给药组集落形成率和集落形成抑制率均有统计学意义 ($P < 0.001$), 见表 2。

3 讨论

竹节香附载于明朝刘文泰所著《本草品汇精要》^[6]。早在清代, 王旭高“定癌散”就曾以该药材

表 2 竹节香附素 A 对 HepG₂ 细胞集落形成的影响 ($\bar{x} \pm s$)

组别	质量浓度/ ($\mu\text{g} \cdot \text{mL}^{-1}$)	平均集落数	集落形成率/%	集落形成抑制率/%
对照	-	113.67 \pm 8.6	45.47	-
竹节香附素 A	1.25	39.33 \pm 2.52 * * *	15.73	66.75 \pm 1.66
	2.50	18.00 \pm 4.58 * * *	7.20	84.25 \pm 3.11
	5.00	8.33 \pm 2.08 * * *	3.33	92.55 \pm 2.33

与对照组比较: * * * $P < 0.001$

治疗乳癌。近年来, 在对竹节香附活性成分研究中发现竹节香附素 A 具有较强的抑瘤作用^[3-4], 对人胃癌细胞 BGC823、人红白血病细胞 K562、人宫颈癌细胞 HeLa 及大鼠成纤维细胞 L929 等肿瘤细胞均显示出较强的抑制作用, 但其对人肝癌细胞的作用尚不明确。

在本研究中观察了竹节香附素 A 对肝癌细胞 HepG₂ 增殖的抑制作用。结果显示竹节香附素 A 对人肝癌细胞 HepG₂ 生长具有明显抑制作用, IC_{50} 为 8.94 $\mu\text{g}/\text{mL}$ 。该活性成分在较低质量浓度就表现出抗肿瘤细胞增殖作用, 且这种抑制作用随质量浓度的增加及作用时间的延长进一步加强, 即呈剂量-时间相关。另外还发现竹节香附素 A 起效快, 24 h 即显示出较强的抑制肝癌细胞生长的作用, 而对照药顺铂 48 h 才显效, 表明竹节香附素 A 具有强效、快速的抗肿瘤活性, 具有潜在的药用价值, 但其确切的作用机制尚不清楚。笔者在研究过程中发现经竹节香附素 A 处理后, 有些细胞体缩小, 胞核固缩, 具有凋亡细胞的某些形态特征, 因此, 该化合物有可能具诱导肿瘤细胞凋亡的作用。有关竹节香附素 A 在体内外的作用方式及其机制有待在以后的研究中进一步探讨, 为竹节香附素 A 治疗恶性肿瘤提供更多的理论依据。

参考文献

- 中国医学科学院药物研究所. 中药志[M]. 北京: 人民卫生出版社, 1959.
- 吴风儒. 中药竹节香附化学成分的研究Ⅰ[J]. 化学学报, 1984, 42(3): 253.
- 张嘉岷, 曹莉, 吴争鸣, 等. 竹节香附中三萜类成分的抗肿瘤活性研究[J]. 中国新药杂志, 2003, 12(3): 191-193.
- 任凤芝, 张雪霞, 牛桂云, 等. 两头尖抗肿瘤活性成分的研究[J]. 中草药, 2005, 36(12): 1975-1978.
- 司徒镇强. 细胞培养[M]. 西安: 世界图书出版公司, 2007.
- 刘文泰. 本草品汇精要(上)[M]. 北京: 商务印书馆, 1959.

(收稿日期 2008-10-22)